

## مطالعه آهنگ چرخش میون در همجوشی $\mu dd$ و $\mu dt$

با در نظر گرفتن رپایش میون از  $\mu d$  و  $\mu t$  توسط ایزوتوپهای هلیم تولیدی  
و مقایسه آن با جوابهای تجربی در دسترس

محمد رضا اسکندری، روح الله قیصری و شهرام مصلی نژاد: دانشگاه شیراز

### چکیده

خبرآ آهنگ انتقال میون از دوتریم و تریتیم به ایزوتوپهای هلیم تولیدی در همجوشی کاتالیزور میونی تعیین شده است. به نظر می‌رسید یکی از دلایل مهم عدم تطابق مقادیر نظری و آزمایشی ضریب چرخش میونی در این شیوه همجوشی، نادیده گرفتن همین انتقالات در تئوری‌های قبلی باشد. در این کار تحقیقی آهنگ چرخش میون با در نظر گرفتن انتقال میون از دوتریم و تریتیم به ایزوتوپهای هلیم ( $^4\text{He}$ ,  $^3\text{He}$ ) در دو سیستم همجوشی D-T و D-D محاسبه شده است. نتایج نشان می‌دهد که با وجود بالا بودن آهنگ‌های انتقالات فوق، تغییر قابل ملاحظه‌ای در مقدار آهنگ چرخش میون وجود ندارد و هنوز مقدار خطای نتایج نظری با مقادیر آزمایشی در دو سیستم D-T و D-D قابل ملاحظه است.

### مقدمه

هنگامی که میون وارد محیط حاوی ایزوتوپهای هیدروژن می‌شود شروع به انجام واکنش‌های زنجیره‌ای زیر می‌کند.

۱- کند وسیس جذب یونهای دوتریم و تریتیم می‌شود و اتمهای میونی  $\mu d$  و  $\mu t$  را با آهنگ  $\lambda_d$  و  $\lambda_t$  تشکیل میدهد.



۲- میون منفی طبق فرآیند زیرا زیرا اتم دوتریم به اتم تریتیم که مفیدتر است منتقل می‌شود. آهنگ انتقال میون از دوتریم به تریتیم  $\lambda_{dt}$  است. واکنش (۲) در محیط دوتریم خالص قبل از تشکیل تریتیم‌ها انجام نمی‌شود.



۳- در این مرحله مولکولهای میونی تشکیل می‌شود. تشکیل این مولکولهای میونی با آهنگ  $\lambda_{dd}$  به صورت زیر است. در محیط دوتریم خالص مرحله شروع کار فقط با تشکیل  $\mu dd$  است:





که در آن داریم [۱]:

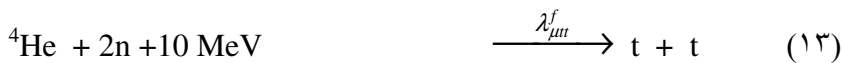
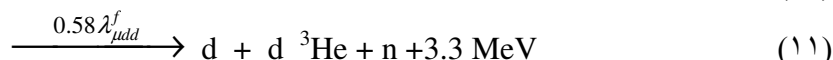
$$\lambda_{\mu dt} = \lambda_{\mu dt-d} C_d + \lambda_{\mu dt-t} C_t \quad (8)$$

در رابطه بالا  $C_t$  و  $C_d$  به ترتیب کسر غلظتهاي دوتريم و تریتیم است و داريم:

$$C_t + C_d = 1 \quad (9)$$

براي دوتريم خالص در شروع کار سیستم،  $C_t = 0$  است.

۴ - در مرحله بعدی وقوع انجام واکنش هسته‌ای مطابق فرآيندهای زیر است:



بعد از تولید هسته نظير  ${}^3He$ ، واکنش همجوشی زیر اتفاق می‌افتد.



براي محیط خالص  $d+d$ ، شروع واکنش با (۱۱) و (۱۲) است ولی سپس با تولید هلیم ۳ و تریتیم از واکنش‌های (۱۱) و (۱۲)، واکنش‌های (۱۰) و (۱۴) و حتی واکنش (۱۳) نیز در کل واکنش‌ها شرکت خواهد

کرد. در روابط بالا آهنگ همجوشی هسته‌ها در مولکولهای میونی  $\mu_{dt}$ ،  $\mu_{dd}$ ،  $\mu_{tt}$  و  $\mu_{dh}$  می‌باشد.

۵- بعد از انجام همجوشی احتمال چسبیدن میون به ذرات باردار حاصل از واکنش وجود دارد، به ویژه در واکنش‌های (۱۰) و (۱۳)، میون به  ${}^4He$  و در واکنش (۱۱) به  ${}^3He$  چسبیده و آلفای میون دارتشکیل می‌دهد در این حالت میون مقید به هسته‌های آلفا و استه می‌شود، بنابراین برای انجام واکنش‌های بعدی در دسترس نخواهد بود [۲، ۳، ۴، ۵].

## طرح پیشنهادی سیستم D-T و D-D

نمودار طرح‌دار سیستم همجوشی D-T و D-D کمی پیچیدتر اما واقعی‌تر می‌شود اگر در فرآیندهای همجوشی، ربايش میون از اتمهای میون دار  $\mu_{dd}$  و  $\mu_{tt}$  توسط ایزوتوپهای  ${}^3He$  و  ${}^4He$  را نیز وارد شبکه کنیم، در این صورت معادله (۹) به شکل زیر درمی‌آید.

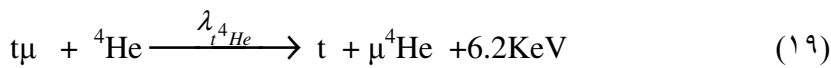
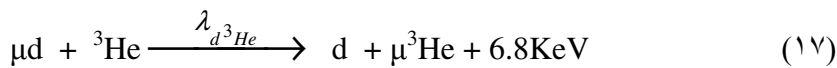
$$C_d + C_t + C_{He} = 1 \quad (15)$$

که در آن

$$C_{He} = C_h + C_a \quad (16)$$

و  $C_h$  و  $C_a$  به ترتیب کسر غلظتهاي  $^3He$  و  $^4He$  است. در تحقیقات اخیر آهنگ ربايش میون از دوتريم و تربیتیم توسط ایزوتوپهای هلیم اندازه گیری شده است [۲] و [۵].

تاکنون ربايش میون از اتمهای میونی  $\mu d$  و  $\mu t$  توسط ایزوتوپهای هلیم تولیدی به دلیل درسترس نبودن داده های مورد لزوم در محاسبات نظری منظور نمی شد [۴]. در کار تحقیقاتی حاضر ربايش میون از اتمهای میونی  $\mu d$  و  $\mu t$  توسط ایزوتوپهای هلیم را در شبکه عمومی همجوشی ارائه شده در شکل های (۱) و (۲) برای D-T و D-D شده است و تأثیر آن را بر روی ضریب تکثیر میونی مطالعه کرده ایم. این انتقال ایزوتوپی توسط واکنش های زیر انجام می شود [۵] و [۶].



در روابط بالا ( $\lambda$ ) آهنگهای تعویضی مربوطه خواهد بود. در محیط D-T، میون می تواند مطابق واکنش های (۱) و (۲) جذب شود. بعد از تشکیل  $\mu t$  با برخورد با دوتريم و تربیتیم های محیط، مولکول های  $\mu tt$  و  $\mu tt$  مطابق (۵) و (۷) تشکیل خواهد شد. سپس اینها می توانند همجوشی کنند. حاصل همجوشی هر مولکول دو کانال با ضرایب چسبندگی  $\omega_d$  و  $\omega_t$  خواهد بود. آلفای میون دار،  $\mu\alpha$ ، به ترتیب در شاخه های  $\mu dt$  و  $\mu tt$  پدید خواهد آمد و با احتمالات  $\omega_d$ -۱ و  $\omega_t$ -۱ هسته آلفا به ترتیب از شاخه های  $\mu dt$  و  $\mu tt$  تشکیل خواهد شد. هسته آلفا پس از تشکیل می تواند میون را از محیط جذب کند. این جذب به طور مستقیم یا غیرمستقیم خواهد بود. که جذب غیرمستقیم آن توسط واکنش های (۱۷) تا (۱۹) توصیف می شود و جذب مستقیم، گیراندازی میون های آزاد است (شکل ۱). در محیط D-D، بعد از تشکیل  $\mu dd$  مطابق واکنش (۱)، این اتم میونی می تواند با دوتريم زیاد محیط برخورد کند و  $\mu dd$  مطابق واکنش (۴) تشکیل خواهد شد. در هر حال مولکول تشکیل شده با ثابت همجوشی  $\lambda^f$ ، همجوشی می کند. این واکنش در روی شبکه (شکل ۲) با عدد (۱) نشان داده شده است. حاصل همجوشی  $\mu dd$  چهار کانال است: با احتمال  $P_{1s1}$  (۱) میون از طریق کانال (۳) آزاد خواهد شد.  $P_1$  احتمال تولید ذره پروتون و  $\omega_{s1}$  احتمال چسبیدن میون به تربیتیم های تولیدی است. با احتمال  $(1-P_1)$  (۱- $\omega_{s2}$ )، میون می تواند از کانال (۲) آزاد و چرخه را دوباره تکرار کند. یعنی می تواند از طریق کانال (۶) همان مراحل بالا را انجام دهد. اتمهای میون دار  $\mu t$  بعد از همجوشی  $\mu dd$  به ترتیب با احتمالات  $P_1\omega_{s1}$  و  $(1-P_1)\omega_{s2}$ ، تولید می شوند.  $\mu t$  می تواند با دوتريم خیلی زیاد محیط برخورد مؤثر انجام دهد و به صورت  $\mu dt$  درآید. این

مولکول با ثابت  $\lambda_{\mu dt}^f$  می‌تواند به طور جداگانه دو کانال را با احتمالات  $\omega_{s3}$  و  $(1-\omega_{s3})$  طی کند. امکان دارد میون از طریق کانال شماره (۵) آزاد شود و وارد چرخه شود.  $\omega_{s3}$  احتمال چسبیدن میون به هسته تولیدی  $\alpha$  می‌باشد. با آهنگ  $\lambda_{\mu dh}$  و احتمالات مربوطه، اتم  $\mu h$  با دوتیری تشکیل  $\mu dh$  خواهد داد.  $\mu dh$  با ثابت همجوشی  $\lambda_{\mu dh}^f$ ، با احتمالات  $\omega_{s4}$  و  $(1-\omega_{s4})$  به ترتیب کا نالهای تولید  $\mu \alpha$  و آزاد شدن میون را باز خواهد کرد. پس میون با احتمال  $\omega_{s4}$  از این شاخه هم می‌تواند دوباره وارد چرخه شود. در کل شبکه  $\lambda_0$  آهنگ نابودی میون می‌باشد. میون دارای عمر متوسط حدود  $2/2 \times 10^{-7}$  ثانیه است و بعد از گذشت این مدت زمان از بین خواهد رفت. کانال‌های (۷) و (۸) مربوط به انتقالات تعویضی ذره میون برطبق واکنش‌های (۱۷) و (۱۸) می‌باشد.

### معادلات حاکم بر سیستم D-T و D-D و محاسبات عددی

مانند معادلات دینامیکی حاکم بر حرکت یک سیستم مکانیکی، معادلات حاکم بر سیستم همجوشی، تعداد تمام هسته‌ها، اتم‌های میون‌دار و مولکولهای میون‌دار را کنترل می‌کند.

معادلات سینتیک نقطه‌ای بر اساس شبکه‌های جامع، شکلهای (۱) و (۲)، جفت شده غیر خطی تابع زمان است.

معادلات حاکم بر سیستم D-T را می‌توان چنین نوشت:

$$dN_\mu(t)/dt = +S_\mu - \lambda_0 N_\mu - \Phi \lambda_a C_d N_\mu - \Phi \lambda_a C_t N_\mu + \lambda_{\mu dt}^f N_{\mu dt} (1 - \omega_d) + \lambda_{\mu tt}^f N_{\mu tt} (1 - \omega_t) - \Phi \lambda'_a C_a N_\mu \quad (۲۰)$$

$$dN_{\mu d}(t)/dt = -\lambda_0 N_{\mu d} + \Phi \lambda_a C_d N_\mu - \Phi \lambda_{da} C_a N_{\mu d} - \Phi \lambda_{dt} C_t N_{\mu d} \quad (۲۱)$$

$$dN_{\mu t}(t)/dt = -\lambda_0 N_{\mu t} - \Phi \lambda_{\mu dt} C_d N_{\mu t} + \Phi \lambda_a C_t N_\mu - \Phi \lambda_{ta} C_a N_{\mu t} + \Phi \lambda_{dt} C_t N_{\mu d} - \Phi \lambda_{tt} C_t N_{\mu t} \quad (۲۲)$$

$$dN_{\mu a}(t)/dt = -\lambda_0 N_{\mu a} + \lambda_{\mu tt}^f N_{\mu tt} \omega_t + \lambda_{\mu dt}^f N_{\mu dt} \omega_d + \Phi \lambda_{da} C_a N_{\mu d} + \Phi \lambda_{ta} C_a N_{\mu t} + \Phi \lambda'_a C_a N_\mu \quad (۲۳)$$

$$dN_{\mu dt}(t)/dt = -\lambda_{\mu dt}^f N_{\mu dt} - \lambda_0 N_{\mu dt} + \Phi \lambda_{\mu dt} C_d N_{\mu t} \quad (۲۴)$$

$$dN_{\mu tt}(t)/dt = -\lambda_{\mu tt}^f N_{\mu tt} - \lambda_0 N_{\mu tt} + \Phi \lambda_{\mu tt} C_t N_{\mu t} \quad (۲۵)$$

$$dN_d(t)/dt = -\lambda_a C_d \Phi N_\mu + \lambda_{dt} C_t \Phi N_{\mu d} + \lambda_{da} C_a \Phi N_{\mu d} + \lambda_0 N_{\mu d} - \lambda_{\mu dt} C_d \Phi N_{\mu t} \quad (۲۶)$$

$$dN_t(t)/dt = -\lambda_a C_t \Phi N_\mu + \lambda_0 N_{\mu t} - \lambda_{dt} C_t \Phi N_{\mu d} - \lambda_{\mu tt} N_{\mu t} C_t \Phi + \lambda_{ta} C_a \Phi N_{\mu t} \quad (۲۷)$$

و به طور مشابه معادلات حاکم بر D-D را مطابق روابط زیر می‌نویسیم:

$$dN_\mu(t)/dt = +S_\mu - \lambda_0 N_\mu - \Phi \lambda_a C_d N_\mu - \Phi \lambda'_a C_h N_\mu + P_1 [\lambda_{\mu dd}^f N_{\mu dd} (1 - \omega_{s1})] + (1 - P_1) [\lambda_{\mu dd}^f N_{\mu dd} (1 - \omega_{s2})] + \lambda_{\mu dt}^f N_{\mu dt} (1 - \omega_{s3}) + \lambda_{\mu dh}^f N_{\mu dh} (1 - \omega_{s4}) - \Phi \lambda''_a C_a N_\mu \quad (۲۸)$$

$$dN_{\mu d}(t)/dt = -\lambda_0 N_{\mu d} - \Phi \lambda_{\mu dd} C_d N_{\mu d} + \Phi \lambda_a C_d N_\mu - \Phi \lambda_{da} C_a N_{\mu d} - \Phi \lambda_{dh} C_h N_{\mu d} \quad (۲۹)$$

$$dN_{\mu t}(t)/dt = -\lambda_0 N_{\mu t} - \Phi \lambda_{\mu dt} C_d N_{\mu t} + P_1 \lambda_{\mu dd}^f N_{\mu dd} \omega_{s1} \quad (۳۰)$$

$$dN_{\mu\alpha}(t)/dt = -\lambda_0 N_{\mu\alpha} + \lambda^f_{\mu dh} N_{\mu dh} \omega_{s4} + \lambda^f_{\mu dt} N_{\mu dt} \omega_{s3} + \Phi \lambda_{da} C_a N_{\mu d} + \Phi \lambda''_a C_a N_\mu \quad (31)$$

$$dN_{\mu h}(t)/dt = -\lambda_0 N_{\mu h} + (1-P_1)[\lambda^f_{\mu dd} N_{\mu dd} \omega_{s2}] - \Phi \lambda_{\mu dh} C_d N_{\mu h} + \Phi \lambda_{dh} C_h N_{\mu d} + \Phi \lambda'_a C_h N_\mu \quad (32)$$

$$dN_{\mu dd}(t)/dt = -\lambda^f_{\mu dd} N_{\mu dd} - \lambda_0 N_{\mu dd} + \Phi \lambda_{\mu dd} C_d N_{\mu d} \quad (33)$$

$$dN_{\mu dt}(t)/dt = -\lambda^f_{\mu dt} N_{\mu dt} - \lambda_0 N_{\mu dt} + \Phi \lambda_{\mu dt} C_d N_{\mu t} \quad (34)$$

$$dN_{\mu dh}(t)/dt = -\lambda^f_{\mu dh} N_{\mu dh} - \lambda_0 N_{\mu dh} + \Phi \lambda_{\mu dh} C_d N_{\mu h} \quad (35)$$

$$dN_d(t)/dt = -\lambda_a C_d \Phi N_\mu - \lambda_{\mu dd} C_d \Phi N_{\mu d} + \lambda_{dh} C_h \Phi N_{\mu d} + \lambda_{da} C_a \Phi N_{\mu d} - \lambda_{\mu dh} C_d \Phi N_{\mu h} + \lambda_0 N_{\mu d} - \lambda_{\mu dt} C_d \Phi N_{\mu t} \quad (36)$$

$$dN_h(t)/dt = -\lambda'_a C_h \Phi N_\mu + \lambda_0 N_{\mu h} - \lambda_{dh} C_h \Phi N_{\mu d} + (1-P_1) \lambda^f_{\mu dd} N_{\mu dd} (1-\omega_{s2}) \quad (37)$$

$$dN_a(t)/dt = -\lambda''_a C_a \Phi N_\mu + \lambda_0 N_{\mu a} - \lambda_{da} C_a \Phi N_{\mu d} + \lambda^f_{\mu dh} N_{\mu dh} (1-\omega_{s4}) + \lambda^f_{\mu dt} N_{\mu dt} (1-\omega_{s3}) \quad (38)$$

برای دو سیستم D-T و D-D تعداد هسته‌های موجود در محیط، را می‌توان بر حسب غلظت‌های ذکر شده نوشت.

$$N_d(t) = C_d(t) \Phi N_0 \quad (39)$$

$$N_h(t) = C_h(t) \Phi N_0 \quad (40)$$

$$N_a(t) = C_a(t) \Phi N_0 \quad (41)$$

$$N_t(t) = C_t(t) \Phi N_0 \quad (42)$$

در معادلات بالا،  $N_0$  چگالی عددی هیدروژن مایع است.  $C_d(t)$ ،  $C_h(t)$ ،  $C_a(t)$  و  $C_t(t)$  به ترتیب غلظت‌های نسبی تابع زمانی دوتربیم، هلیم ۳، تریتیم و هلیم ۴ است.  $\Phi$  چگالی یونی محیط است که نسبت به (چگالی عددی هیدروژن مایع) نوشته می‌شود. مقادیر بالا با زمان تغییر می‌کنند. آهنگ‌های تشکیل و همجوشی معرفی شده اند.  $\lambda_0$  آهنگ واپاشی میون است.

$N(t)$  ها چگالی ذره‌ای اتم‌های میون دار، مولکول‌های میون دار و هسته‌ها است. جمله‌های طرف راست معادلات با علامت مثبت به معنی اضافه شدن به تعداد هسته‌ها، اتم‌های میون دار و یا مولکول‌ها با توجه به طرف چپ معادله مربوطه‌اند. جملات با علامت منفی به معنی نابود شدن آنها در لحظه  $t$  از سیستم هستند. در جدول (۱) پارامترهای لازم مربوط به هر دو شبکه جامع پیشنهادی D-T و D-D از مراجع در دمای K ۳۰۰ ارائه شده است. این معادلات غیر خطی تابع زمان را به طور جداگانه برای دو سیستم مورد نظر به روش محاسبات عددی حل کردۀ‌ایم و نتایج حاصل در جدول (۲) در شرایط بینه سیستم D-T ( $C_d=C_t=0.5$ ) و در جدول (۳) برای سیستم D به ازاء  $\Phi=1$  LHD،  $\Phi=0.1$  LHD و  $\Phi=1$  LHD در دمای 300K ارائه شده است. در جدول (۲) پارامترهای محاسبه شده  $\chi_{\mu dt}$  و  $\chi_{\mu tt}$  به ترتیب آهنگ چرخش میون در شاخه‌های  $\mu dt$  و  $\mu tt$  در سیستم D-T است و  $\chi_{tot}$  آهنگ چرخش کل است. در سیستم D-D،  $X_{\mu dd}$ ،  $X_{\mu dh}$  و  $X_{\mu dt}$  به ترتیب تعداد همجوشی مولکول‌های میون دار

بر  $\mu_{\text{tot}}$ ،  $\mu_{\text{dh}}$  و  $\mu_{\text{dt}}$  است. آهنگ چرخش کل در محیط D-D است. مقدار درصد تأثیر هلیم‌های تولیدی شاخه‌های سیستم D-T و D-D در جدول (۴) ارائه شده است. این نتایج نشان می‌دهد که پدیده انتقال میون از اتم‌های  $\mu_{\text{d}}$  و  $\mu_{\text{t}}$  به ایزوتوپهای هلیم تولیدی آنچنان قابل توجه نیست. این نتیجه را می‌توان این چنین توجیه کرد: با توجه به شبکه‌های جامع ارائه شده بعد از هربار همجوشی کردن مولکول‌هایی از نوع  $\mu_{\text{dt}}$  در شبکه D-T حداقل یک عدد هسته آلفا پدید می‌آید. حتی مطابق جدول (۲) اگر میون  $^{87}/43$  بار عمل کاتالیز را انجام دهد حداقل  $^{87}/43$  عدد هسته آلفا پدید خواهد آمد مطابق معادلات ارائه شده، تعداد این نوع هسته آنچنان نیست که بتواند تأثیری روی آهنگ چرخش میون داشته باشد. در مورد سیستم D-D با توجه به جدول (۳) می‌توان گفت که چون حداقل تعداد هسته‌های از نوع  $h$  و  $a$  زیر عدد ۵ است این دو نوع هسته هم در آهنگ چرخش میون تأثیر قابل ملاحظه‌ای ندارند.

از مقایسه نتایج حاصل از تئوری شبکه‌های جامع پیشنهادی در محیط‌های D-T و D-D با نتایج در دسترس آزمایشی در جداول (۵) و (۶)، نشان داده شده است که در شرایط یکسان هنوز بین جوابهای تئوری و مقادیر تجربی در دو محیط D-T و D-D اختلاف قابل ملاحظه‌ای وجود دارد. مقایسه محاسبات تئوری حاصل از حل معادلات مربوط به D-T و D-D با مقادیر تجربی به ترتیب در جداول (۵) و (۶) ارائه شده است. در جدول (۵) آهنگ چرخش میون محاسبه شده در سیستم D-T با مقادیر تجربی مقایسه شده است. در جدول (۶) به علت در دسترس نبودن مقادیر آزمایشی آهنگ چرخش میون مربوط به سیستم D-D، تعداد نوترونها محاسبه شده از تئوری با مقادیر آزمایشی در سه دمای  $K = 25/5$  و  $70 K$  مقایسه شده است. در جدول (۶) نتایج محاسبات نشان می‌دهد که هر چه دمای محیط بالاتر رفته است میزان خطای محاسبات تئوری با جوابهای تجربی کمتر می‌شود.

جدول ۱: پارامترها و اطلاعات مربوط به شبکه جامع D-T و D-D

Parameter (dimension)	Value [Ref.]	Parameter (dimension)	Value [Ref.]
$\omega_{s1}$	0.0027 [6]	$\lambda_{\mu_{\text{dt}}-\text{d}}(\text{s}^{-1})$	$14.7 \cdot 10^7$ [1]
$\omega_{s2}$	0.13 [7]	$\lambda_{\mu_{\text{dt}}-\text{t}}(\text{s}^{-1})$	$8.6 \cdot 10^7$ [1]
$\omega_{s3}=\omega_d$	0.0045 [7]	$\lambda_{\mu_{\text{dh}}}(\text{s}^{-1})$	$10^8$ [5]
$\omega_{s4}$	0.0045 [7]	$\lambda_{\mu_{\text{tt}}}(\text{s}^{-1})$	$1.7 \cdot 10^6$ [2]
$P_1$	0.4 [8]	$\lambda_{\mu_{\text{dd}}}^f(\text{s}^{-1})$	$4 \cdot 10^8$ [8]
$\lambda_a(\text{s}^{-1})$	$4 \cdot 10^{12}$ [9]	$\lambda_{\mu_{\text{dt}}}^f(\text{s}^{-1})$	$1.1 \cdot 10^{12}$ [11]
$\lambda'_a=\lambda''_a(\text{s}^{-1})$	$10^6$ [5]	$\lambda_{\mu_{\text{dh}}}^f(\text{s}^{-1})$	$10^2$ [12,13]

نظر گرفتن رباش میون از  $\mu_{\text{d}}$  و  $\mu_{\text{t}}$  توسط ایزوتوپهای هلیم تولیدی و مقایسه آن با جوابهای تجربی در دسترس

## محمد رضا اسکندری، روح الله قیصری و شهرام مصلی نژاد: دانشگاه شیراز

### چکیده

خبرآ آهنگ انتقال میون از دوتریم و تریتیم به ایزوتوپهای هلیم تولیدی در همجوشی کاتالیزور میونی تعیین شده است. به نظر می‌رسید یکی از دلایل مهم عدم تطابق مقادیر نظری و آزمایشی ضریب چرخش میونی در این شیوه همجوشی، نادیده گرفتن همین انتقالات در تئوری‌های قبلی باشد. در این کار تحقیقی آهنگ چرخش میون با در نظر گرفتن انتقال میون از دوتریم و تریتیم به ایزوتوپهای هلیم ( $^4\text{He}$ ,  $^3\text{He}$ ) در دو سیستم همجوشی D-T و D-D محاسبه شده است. نتایج نشان می‌دهد که با وجود بالا بودن آهنگ‌های انتقالات فوق، تغییر قابل ملاحظه‌ای در مقدار آهنگ چرخش میون وجود ندارد و هنوز مقدار خطای نتایج نظری با مقادیر آزمایشی در دو سیستم D-T و D-D قابل ملاحظه است.

### مقدمه

هنگامی که میون وارد محیط حاوی ایزوتوپهای هیدروژن می‌شود شروع به انجام واکنش‌های زنجیره‌ای زیر می‌کند.

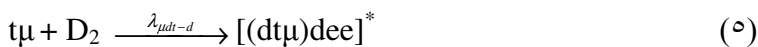
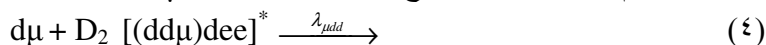
۱- کند و سپس جذب یونهای دوتریم و تریتیم می‌شود و اتمهای میونی  $\mu d$  و  $\mu t$  را با آهنگ  $\lambda_a$  تشکیل میدهد.



۲- میون منفی طبق فرآیند زیرا زیرا اتم دوتریم به اتم تریتیم که مفیدتر است منتقل می‌شود. آهنگ انتقال میون از دوتریم به تریتیم  $\lambda_{dt}$  است. واکنش (۲) در محیط دوتریم خالص قبل از تشکیل تریتیم‌ها انجام نمی‌شود.



۳- در این مرحله مولکولهای میونی تشکیل می‌شود. تشکیل این مولکولهای میونی با آهنگ  $\lambda_b$  به صورت زیر است. در محیط دوتریم خالص شروع کار فقط با تشکیل  $\mu dd$  است:



که در آن داریم: [۱]

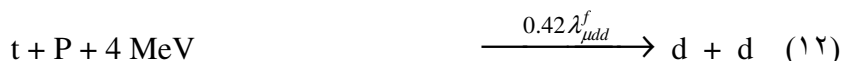
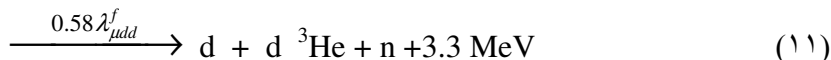
$$\lambda_{\mu dt} = \lambda_{\mu dt-d} C_d + \lambda_{\mu dt-t} C_t \quad (8)$$

در رابطه بالا  $C_d$  و  $C_t$  به ترتیب کسر غلظتهاي دوتریم و تریتیم است و داریم:

$$C_t + C_d = 1 \quad (9)$$

برای دوتریم خالص در شروع کار سیستم،  $C_t = 0$  است.

۴ - در مرحله بعدی وقوع انجام واکنش هسته‌ای مطابق فرآیندهای زیر است:



بعد از تولید هسته نظیر  ${}^3\text{He}$ ، واکنش همجوشی زیر اتفاق می‌افتد.



برای محیط خالص  $d+d$ ، شروع واکنش با (۱۱) و (۱۲) است ولی سپس با تولید هلیم ۳ و تریتیم از واکنش‌های (۱۱) و (۱۲)، واکنش‌های (۱۰) و (۱۴) و حتی واکنش (۱۳) نیز در کل واکنش‌ها شرکت خواهد کرد. در روابط بالا آهنگ همجوشی هسته‌ها در مولکولهای میونی  $\mu_{dd}$ ،  $\mu_{dt}$ ،  $\mu_{tt}$  و  $\mu_{dh}$  می‌باشد.

۵- بعد از انجام همجوشی احتمال چسبیدن میون به ذرات باردار حاصل از واکنش وجود دارد، به ویژه در واکنش‌های (۱۰) و (۱۳)، میون به  ${}^4\text{He}$  و در واکنش (۱۱) به  ${}^3\text{He}$  چسبیده و آفای میون دارتشکیل می‌دهد در این حالت میون مقید به هسته‌های آلفا و استه می‌شود، بنابراین برای انجام واکنش‌های بعدی در دسترس نخواهد بود [۲، [۳، [۴، [۵].

### طرح پیشنهادی سیستم D-D و D-T

نمودار طرح دار سیستم همجوشی D-D و D-T کمی پیچیدتر اماً واقعی‌تر می‌شود اگر در فرآیندهای همجوشی، رباش میون از اتمهای میون دار  $\mu_{dd}$  و  $\mu_{dt}$  توسط ایزوتوپهای  ${}^3\text{He}$  و  ${}^4\text{He}$  را نیز وارد شبکه کنیم، در این صورت معادله (۹) به شکل زیر درمی‌آید.

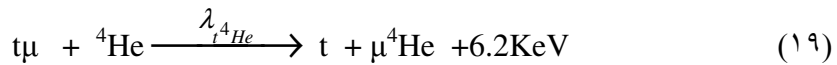
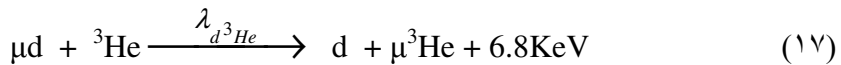
$$C_d + C_t + C_{He} = 1 \quad (15)$$

که در آن

$$C_{He} = C_h + C_\alpha \quad (16)$$

و  $C_h$  و  $C_\alpha$  به ترتیب کسر غلظتهاي  ${}^3\text{He}$  و  ${}^4\text{He}$  است. در تحقیقات اخیر آهنگ رباش میون از دوتریم و تریتیم توسط ایزوتوپهای هلیم اندازه گیری شده است [۲] و [۵].

تاکنون ریاضی میون از اتم‌های میونی  $\mu d$  و  $\mu t$  توسط ایزوتوپهای هلیم تولیدی به دلیل درسترس نبودن داده‌های مورد لزوم در محاسبات نظری منظور نمی‌شد [۴]. در کار تحقیقاتی حاضر ریاضی میون از اتم‌های میونی  $\mu d$  و  $\mu t$  توسط ایزوتوپهای هلیم را در شبکه عمومی همجوشی ارائه شده در شکل‌های (۱) و (۲) برای D-D وارد شده است و تأثیر آن را بر روی ضریب تکثیر میونی مطالعه کردایم. این انتقال ایزوتوپی توسط واکنش‌های زیر انجام می‌شود [۵] و [۶].



در روابط بالا  $\lambda$  آهنگهای تعویضی مربوطه خواهد بود. در محیط D-D، میون می‌تواند مطابق واکنش‌های (۱) و (۲) جذب شود. بعد از تشکیل  $\mu t$  با برخورد با دوتیریم و تریتیم‌های محیط، مولکول‌های  $\mu tt$  و  $\mu dt$  مطابق (۵)، (۶) و (۷) تشکیل خواهند شد. سپس اینها می‌توانند همجوشی کنند. حاصل همجوشی هر مولکول دو کانال با ضرایب چسبندگی  $\omega_d$  و  $\omega_t$  خواهد بود. آلفای میون دار،  $\mu\alpha$ ، به ترتیب در شاخه‌های  $\mu dt$  و  $\mu tt$  پدید خواهد آمد و با احتمالات  $\omega_d$ -۱ و  $\omega_t$ -۱ هسته آلفا به ترتیب از شاخه‌های  $\mu dt$  و  $\mu tt$  تشکیل خواهد شد. هسته آلفا پس از تشکیل می‌تواند میون را از محیط جذب کند. این جذب به طور مستقیم یا غیرمستقیم خواهد بود. که جذب غیرمستقیم آن توسط واکنش‌های (۱۷) تا (۱۹) توصیف می‌شود و جذب مستقیم، گیراندازی میون‌های آزاد است (شکل ۱). در محیط D-D، بعد از تشکیل  $\mu d$  مطابق واکنش (۱)، این اتم میونی می‌تواند با دوتیریم زیاد محیط برخورد کند و  $\mu dd$  مطابق واکنش (۴) تشکیل خواهد شد. در هر حال مولکول تشکیل شده با ثابت همجوشی  $\lambda_{\mu dd}^f$ ، همجوشی می‌کند. این واکنش در روی شبکه (شکل ۲) با عدد (۱) نشان داده شده است. حاصل همجوشی  $\mu dd$  چهار کانال است: با احتمال  $P_{11}$  میون از طریق کانال (۳) آزاد خواهد شد.  $P_1$  احتمال تولید ذره پروتون و  $\omega_{s1}$  احتمال چسبیدن میون به تریتیم‌های تولیدی است. با احتمال  $(1-P_1)$ -۱، میون می‌تواند از کانال (۲) آزاد و چرخه را دوباره تکرار کند. یعنی می‌تواند از طریق کانال (۶) همان مراحل بالا را انجام دهد. اتمهای میون دار  $\mu h$  بعد از همجوشی  $\mu dd$  به ترتیب با احتمالات  $P_1\omega_{s1}$  و  $(1-P_1)\omega_{s2}$  تولید می‌شوند.  $\mu t$  می‌تواند با دوتیریم خیلی زیاد محیط برخورد مؤثر انجام دهد و به صورت  $\mu dt$  درآید. این

مولکول با ثابت  $\lambda_{\mu dt}^f$  می‌تواند به طور جداگانه دو کانال را با احتمالات  $\omega_{s3}$  و  $(1-\omega_{s3})$  طی کند. امکان دارد میون از طریق کانال شماره (۵) آزاد شود و وارد چرخه شود. احتمال چسبیدن میون به هسته تولیدی  $\alpha$  می‌باشد. با آهنگ  $\lambda_{\mu dh}$  و احتمالات مربوطه، اتم  $\mu h$  با دوتیریم تشکیل  $\mu dh$  خواهد داد.  $\mu dh$  با ثابت همجوشی  $\lambda_{\mu dh}^f$ ، با احتمالات  $\omega_{s4}$  و  $(1-\omega_{s4})$  به ترتیب کا نالهای تولید  $\mu\alpha$  و آزاد شدن میون را باز خواهد کرد.

پس میون با احتمال  $\omega_{s4}$  - ۱ از این شاخه هم می‌تواند دوباره وارد چرخه شود. در کل شبکه  $\lambda_0$  آهنگ نابودی میون می‌باشد. میون دارای عمر متوسط حدود  $10^{-2} \times 2$  ثانیه است و بعد از گذشت این مدت زمان از بین خواهد رفت. کانال‌های (۷) و (۸) مربوط به انتقالات تعویضی ذره میون برطبق واکنش‌های (۱۷) و (۱۸) می‌باشد.

## معادلات حاکم بر سیستم D-D-T و محاسبات عددی

مانند معادلات دینامیکی حاکم بر حرکت یک سیستم مکانیکی، معادلات حاکم بر سیستم همجوشی، تعداد تمام هسته‌ها، اتم‌های میون‌دار و مولکولهای میون‌دار را کنترل می‌کند.

معادلات سینتیک نقطه‌ای بر اساس شبکه‌های جامع، شکل‌های (۱) و (۲)، جفت شده غیر خطی تابع زمان است.

معادلات حاکم بر سیستم D-T را می‌توان چنین نوشت:

$$dN_\mu(t)/dt = +S_\mu - \lambda_0 N_\mu - \Phi \lambda_a C_d N_\mu - \Phi \lambda_a C_t N_\mu + \lambda_{\mu dt}^f N_{\mu dt}(1-\omega_d) + \lambda_{\mu tt}^f N_{\mu tt}(1-\omega_t) - \Phi \lambda'_a C_a N_\mu \quad (۲۰)$$

$$dN_{\mu d}(t)/dt = -\lambda_0 N_{\mu d} + \Phi \lambda_a C_d N_\mu - \Phi \lambda_{da} C_a N_{\mu d} - \Phi \lambda_{dt} C_t N_{\mu d} \quad (۲۱)$$

$$dN_{\mu t}(t)/dt = -\lambda_0 N_{\mu t} - \Phi \lambda_{\mu dt} C_d N_{\mu t} + \Phi \lambda_a C_t N_\mu - \Phi \lambda_{ta} C_a N_{\mu t} + \Phi \lambda_{dt} C_t N_{\mu d} - \Phi \lambda_{tt} C_t N_{\mu t} \quad (۲۲)$$

$$dN_{\mu a}(t)/dt = -\lambda_0 N_{\mu a} + \lambda_{\mu tt}^f N_{\mu tt} \omega_t + \lambda_{\mu dt}^f N_{\mu dt} \omega_d + \Phi \lambda_{da} C_a N_{\mu d} + \Phi \lambda_{ta} C_a N_{\mu t} + \Phi \lambda'_a C_a N_\mu \quad (۲۳)$$

$$dN_{\mu dt}(t)/dt = -\lambda_{\mu dt}^f N_{\mu dt} - \lambda_0 N_{\mu dt} + \Phi \lambda_{\mu dt} C_d N_{\mu t} \quad (۲۴)$$

$$dN_{\mu tt}(t)/dt = -\lambda_{\mu tt}^f N_{\mu tt} - \lambda_0 N_{\mu tt} + \Phi \lambda_{\mu tt} C_t N_{\mu t} \quad (۲۵)$$

$$dN_d(t)/dt = -\lambda_a C_d \Phi N_\mu + \lambda_{dt} C_t \Phi N_{\mu d} + \lambda_{da} C_a \Phi N_{\mu d} + \lambda_0 N_{\mu d} - \lambda_{\mu dt} C_d \Phi N_{\mu t} \quad (۲۶)$$

$$dN_t(t)/dt = -\lambda_a C_t \Phi N_\mu + \lambda_0 N_{\mu t} - \lambda_{dt} C_t \Phi N_{\mu d} - \lambda_{\mu tt} N_{\mu t} C_t \Phi + \lambda_{ta} C_a \Phi N_{\mu t} \quad (۲۷)$$

و به طور مشابه معادلات حاکم بر D-T را مطابق روابط زیر می‌نویسیم:

$$dN_\mu(t)/dt = +S_\mu - \lambda_0 N_\mu - \Phi \lambda_a C_d N_\mu - \Phi \lambda'_a C_h N_\mu + P_1 [\lambda_{\mu dd}^f N_{\mu dd}(1-\omega_{s1})] + (1-P_1) [\lambda_{\mu dd}^f N_{\mu dd} (1-\omega_{s2})] + \lambda_{\mu dt}^f N_{\mu dt}(1-\omega_{s3}) + \lambda_{\mu dh}^f N_{\mu dh}(1-\omega_{s4}) - \Phi \lambda''_a C_a N_\mu \quad (۲۸)$$

$$dN_{\mu d}(t)/dt = -\lambda_0 N_{\mu d} - \Phi \lambda_{\mu dd} C_d N_{\mu d} + \Phi \lambda_a C_d N_\mu - \Phi \lambda_{da} C_a N_{\mu d} - \Phi \lambda_{dh} C_h N_{\mu d} \quad (۲۹)$$

$$dN_{\mu t}(t)/dt = -\lambda_0 N_{\mu t} - \Phi \lambda_{\mu dt} C_d N_{\mu t} + P_1 \lambda_{\mu dd}^f N_{\mu dd} \omega_{s1} \quad (۳۰)$$

$$dN_{\mu a}(t)/dt = -\lambda_0 N_{\mu a} + \lambda_{\mu dh}^f N_{\mu dh} \omega_{s4} + \lambda_{\mu dt}^f N_{\mu dt} \omega_{s3} + \Phi \lambda_{da} C_a N_{\mu d} + \Phi \lambda''_a C_a N_\mu \quad (۳۱)$$

$$dN_{\mu h}(t)/dt = -\lambda_0 N_{\mu h} + (1-P_1) [\lambda_{\mu dd}^f N_{\mu dd} \omega_{s2}] - \Phi \lambda_{\mu dh} C_d N_{\mu h} + \Phi \lambda_{dh} C_h N_{\mu d} + \Phi \lambda'_a C_h N_\mu \quad (۳۲)$$

$$dN_{\mu dd}(t)/dt = -\lambda_{\mu dd}^f N_{\mu dd} - \lambda_0 N_{\mu dd} + \Phi \lambda_{\mu dd} C_d N_{\mu d} \quad (۳۳)$$

$$dN_{\mu dt}(t)/dt = -\lambda_{\mu dt}^f N_{\mu dt} - \lambda_0 N_{\mu dt} + \Phi \lambda_{\mu dt} C_d N_{\mu t} \quad (۳۴)$$

$$\frac{dN_{\mu dh}(t)}{dt} = -\lambda^f_{\mu dh} N_{\mu dh} - \lambda_0 N_{\mu dh} + \Phi \lambda_{\mu dh} C_d N_{\mu h} \quad (35)$$

$$\begin{aligned} \frac{dN_d(t)}{dt} = & -\lambda_a C_d \Phi N_\mu - \lambda_{\mu dd} C_d \Phi N_{\mu d} + \lambda_{dh} C_h \Phi N_{\mu d} + \lambda_{da} C_a \Phi N_{\mu d} - \lambda_{\mu dh} C_d \Phi N_{\mu h} + \lambda_0 N_{\mu d} \\ & - \lambda_{\mu dt} C_d \Phi N_{\mu t} \end{aligned} \quad (36)$$

$$\frac{dN_h(t)}{dt} = -\lambda'_a C_h \Phi N_\mu + \lambda_0 N_{\mu h} - \lambda_{dh} C_h \Phi N_{\mu d} + (1-P_1) \lambda^f_{\mu dd} N_{\mu dd} (1-\omega_{s2}) \quad (37)$$

$$\frac{dN_a(t)}{dt} = -\lambda''_a C_a \Phi N_\mu + \lambda_0 N_{\mu a} - \lambda_{da} C_a \Phi N_{\mu d} + \lambda^f_{\mu dh} N_{\mu dh} (1-\omega_{s4}) + \lambda^f_{\mu dt} N_{\mu dt} (1-\omega_{s3}) \quad (38)$$

برای دو سیستم D-D و D-T تعداد هسته‌های موجود در محیط، را می‌توان بر حسب غلظت‌های ذکر شده نوشت.

$$N_d(t) = C_d(t) \Phi N_0 \quad (39)$$

$$N_h(t) = C_h(t) \Phi N_0 \quad (40)$$

$$N_a(t) = C_a(t) \Phi N_0 \quad (41)$$

$$N_t(t) = C_t(t) \Phi N_0 \quad (42)$$

در معادلات بالا،  $N_0$  چگالی عددی هیدروژن مایع است.  $C_d(t)$ ،  $C_h(t)$  و  $C_a(t)$  به ترتیب غلظت‌های نسبی تابع زمانی دوتیریم، هلیم ۳، تریتیم و هلیم ۴ است.  $\Phi$  چگالی یونی محیط است که نسبت به (چگالی عددی هیدروژن مایع) نوشته می‌شود. مقادیر بالا با زمان تغییر می‌کنند. آهنگ‌های تشکیل و همجوشی معرفی شده اند.  $\lambda_0$  آهنگ واپاشی میون است.

$N_{(t)}$  ها چگالی ذره‌ای اتم‌های میوندار، مولکول‌های میوندار و هسته‌ها است. جمله‌های طرف راست معادلات با علامت مثبت به معنی اضافه شدن به تعداد هسته‌ها، اتم‌های میوندار و یا مولکول‌ها با توجه به طرف چپ معادله مربوطه‌اند. جملات با علامت منفی به معنی نابود شدن آنها در لحظه  $t$  از سیستم هستند. در جدول (۱) پارامترهای لازم مربوط به هر دو شبکه جامع پیشنهادی D-D و D-T از مراجع در دمای K ۳۰۰ ارائه شده است. این معادلات غیر خطی تابع زمان را به طور جداگانه برای دو سیستم مورد نظر به روش محاسبات عددی حل کردۀ ایم و نتایج حاصل در جدول (۲) در شرایط بهینه سیستم D-T ( $C_d = C_t = 0.5$ ) و در جدول (۳) برای سیستم D به ازاء  $\Phi = 0.1 LHD$ ،  $\Phi = 1 LHD$  و  $\Phi = 1 LHD$  در دمای  $K = 300$  ارائه شده است. در جدول (۲) پارامترهای محاسبه شده  $\chi_{\mu dt}$  و  $\chi_{\mu tt}$  به ترتیب آهنگ چرخش میون در شاخه‌های  $\mu dt$  و  $\mu tt$  در سیستم D-T است و آهنگ چرخش کل است. در سیستم D-D،  $X_{\mu dh}$ ،  $X_{\mu dd}$  و  $X_{\mu dt}$  به ترتیب تعداد همجوشی مولکول‌های میوندار

بر  $\mu dt$  و  $\mu dd$  است.  $\chi_{\mu dt}$  آهنگ چرخش کل در محیط D-D است. مقدار درصد تأثیر هلیم‌های تولیدی بر شاخه‌های سیستم D-T و D-D در جدول (۴) ارائه شده است. این نتایج نشان می‌دهد که پدیده انتقال میون از اتم‌های  $\mu d$  و  $\mu t$  به ایزوتوپهای هلیم تولیدی آنچنان قابل توجه نیست. این نتیجه را می‌توان این چنین توجیه کرد: با توجه به شبکه‌های جامع ارائه شده بعد از هر بار همجوشی کردن مولکول‌هایی از نوع  $\mu dt$  و  $\mu tt$  در شبکه

D-T حداکثر یک عدد هسته آلفا پدید می‌آید. حتی مطابق جدول (۲) اگر میون  $87/43$  بار عمل کاتالیز را انجام دهد حداکثر  $87/43$  عدد هسته آلفا پدید خواهد آمد مطابق معادلات ارائه شده، تعدد این نوع هسته آنچنان نیست که بتواند تأثیری روی آهنگ چرخش میون داشته باشد. در مورد سیستم D-D با توجه به جدول (۳) می‌توان گفت که چون حداکثرتعداد هسته‌های از نوع  $h$  و  $a$  زیر عدد ۵ است این دو نوع هسته هم در آهنگ چرخش میون تأثیر قابل ملاحظه‌ای ندارند.

از مقایسه نتایج حاصل از تئوری شبکه‌های جامع پیشنهادی در محیط‌های D-T و D-D با نتایج در دسترس آزمایشی در جداول (۵) و (۶)، نشان داده شده است که در شرایط یکسان هنوز بین جوابهای تئوری و مقادیر تجربی در دو محیط D-T و D-D اختلاف قابل ملاحظه‌ای وجود دارد. مقایسه محاسبات تئوری حاصل از حل معادلات مربوط به D-T و D-D با مقادیر تجربی به ترتیب در جداول (۵) و (۶) ارائه شده است. در جدول (۵) آهنگ چرخش میون محاسبه شده در سیستم D-T با مقادیر تجربی مقایسه شده است. در جدول (۶) به علت در دسترس نبودن مقادیر آزمایشی آهنگ چرخش میون مربوط به سیستم D-D، تعداد نوترoneای محاسبه شده از تئوری با مقادیر آزمایشی در سه دمای  $K=25/50/70$  مقایسه شده است. در جدول (۶) نتایج محاسبات نشان می‌دهد که هر چه دمای محیط بالاتر رفته است میزان خطای محاسبات تئوری با جوابهای تجربی کمتر می‌شود.

جدول ۱: پارامترها و اطلاعات مربوط به شبکه جامع D-T و D-D.

Value [Ref.]	Parameter (dimension)	Value [Ref.]	Parameter (dimension)
$14.7 \cdot 10^7$ [1]	$\lambda_{\mu_{\text{dt}}-\text{d}}(\text{s}^{-1})$	0.0027 [6]	$\omega_{s1}$
$8.6 \cdot 10^7$ [1]	$\lambda_{\mu_{\text{dt}}-\text{t}}(\text{s}^{-1})$	0.13 [7]	$\omega_{s2}$
$10^8$ [5]	$\lambda_{\mu_{\text{dh}}}(\text{s}^{-1})$	0.0045 [7]	$\omega_{s3}=\omega_d$
$1.7 \cdot 10^6$ [2]	$\lambda_{\mu_{\text{tt}}}(\text{s}^{-1})$	0.0045 [7]	$\omega_{s4}$
$4 \cdot 10^8$ [8]	$\lambda_{\mu_{\text{dd}}}^f(\text{s}^{-1})$	0.4 [8]	$P_1$
$1.1 \cdot 10^{12}$ [11]	$\lambda_{\mu_{\text{dt}}}^f(\text{s}^{-1})$	$4 \cdot 10^{12}$ [9]	$\lambda_a(\text{s}^{-1})$
$10^2$ [12,13]	$\lambda_{\mu_{\text{dh}}}^f(\text{s}^{-1})$	$10^6$ [5]	$\lambda'_a = \lambda''_a(\text{s}^{-1})$
$\lambda_{\text{dt}}(\text{s}^{-1})$	$\lambda_{\text{dt}} = 3 \cdot 10^8$ $\lambda_{\text{dt}} = \lambda_{\mu_{\text{dt}}-\text{t}} + \lambda_{\mu_{\text{dt}}-\text{d}}$ $\lambda_{\text{dt}} = \lambda_{\mu_{\text{dt}}-\text{t}} + \lambda_{\mu_{\text{dt}}-\text{d}}$		

	$\lambda_{dt}$ (s <sup>-1</sup> )
--	-----------------------------------

خ خ

D-T آتالیزور میونی در هر یک از شاخه های شبکه D-T

$$(C_d = C_t = 0.5)$$

D-T آتالیزور میونی در هر یک از شاخه های شبکه D-T

$$(C_d = C_t = 0.5)$$

به ازاء  $\Phi$  های مختلف در دماي 300K

$\Phi$	$\chi_{\mu tt}$	$\chi_{\mu dt}$	$\chi_{tot}$
0.05	0.04	6.36	6.40
0.15	0.11	18.44	18.55
0.25	0.18	29.46	29.64
0.35	0.24	39.50	39.74
0.45	0.30	48.68	48.98
0.55	0.35	57.07	57.42
0.65	0.40	64.74	65.11
0.75	0.43	71.77	71.12
0.85	0.47	78.21	78.69
0.95	0.51	84.12	84.63
1.00	0.53	86.90	87.43

جدول ۳: تعداد همجوشی هر مولکول و آهنگ چرخش کل در هر یک از شاخه های شبکه D-T به ازاء  $\Phi$  های مختلف در دماي 300K.

$\Phi$	$X_{\mu dd}$	$X_{\mu dt}$	$X_{\mu dh}$	$\chi_{tot}$
0.10	0.45	0.00	0.02	0.45
0.20	0.96	0.00	0.06	0.90
0.30	1.36	0.00	0.10	1.36
0.40	1.81	0.00	0.13	1.81
0.50	2.27	0.00	0.17	2.27
0.60	2.72	0.00	0.21	2.72
0.70	3.17	0.00	0.24	3.17
0.80	3.62	0.00	0.28	3.62

0.90	4.07	0.00	0.31	4.07
1.00	4.52	0.00	0.35	4.52

جدول ۴: مقادیر مربوط به درصد تأثیر هسته های  $\alpha$  و  $(^4\text{He})$  h در سیستم D-T و هسته های  $\alpha$  و  $(^3\text{He})$  h تولیدی بر آهنگ چرخش میون مربوط به هر شاخه در دمای 300K.

سیستم همجوشی	شماره شاخه	% تغییر $\chi_{\mu dt}$ در اثر های تولیدی $\alpha$	در اثر های تولیدی $\alpha$ % تغییر
D-T	1	$(1.5-1.7)*10^{-4}$	-
	2	$(2.0-2.4)*10^{-4}$	-
D-D	2	$(1.4-1.7)*10^{-4}$	$(0.6-5.9)*10^{-4}$
	3	$(1.4-1.7)*10^{-4}$	$(0.6-5.9)*10^{-4}$
	4	$(0.06-0.47)*10^{-4}$	$(0.06-0.47)*10^{-4}$
	5	$(1.7-7.3)*10^{-7}$	$(1.0-6.6)*10^{-7}$

جدول ۵: مقادیر عددی بازده کاتالیزور میونی در هر یک از شاخه های شبکه همجوشی  $\Phi=0.787$  و  $C_d=0.67$ ) D-T و مقایسه آنها با مقادیر آزمایشی ( $\chi_{exp}$ ) [14] در دمای 300K

$\chi_{\mu tt}$	$\chi_{\mu dt}$	$\chi_{tot}$	$\chi_{exp}$	Error %
0.209	70.023	70.232	78.745	12.12

جدول ۶: مقایسه تعداد نوترونهای محاسبه شده ( $n_c$ ) سیستم پیشنهادی D-D ، با تعداد نوترونهای اندازه گیری شده ( $n_{ex}$ ) از آزمایش [8] در سه دمای مختلف.

$\Phi$	T(K)	$N_\mu (\times 10^8)$	$n_c (\times 10^6)$	$n_{ex} (\times 10^6)$	Error(%)
0.0221	25.5	4.622	1.958	2.241	14.45
0.0221	70	4.582	1.945	2.201	13.16
0.0211	150	1.314	0.624	0.599	4.00

### نتیجه گیری

در این مقاله آهنگ چرخش میون با در نظر گرفتن انتقال میون از دوتریم و تریتیم به ایزوتوپهای هلیم در دوسیستم ناپایابی D-T و D-D در دمای  $300\text{ K}$  محاسبه شد. با توجه به جداول (۵) و (۶) می‌توان گفت

شبکه‌های مطرح شده، سیستم‌های همجوشی مربوطه را توجیه می‌کنند. به عنوان نمونه شبکه D-D بررسی شده، تعدد نوترونی سیستم همجوشی یاد شده را به ازاء نابودی میلیون‌ها میون در زمان عمر متوسط  $6 \times 10^{-2}$  توجیه می‌کند.

برطبق جدول (۴)، محاسبات نشان می‌دهد که در صد تأثیرات انتقالات تعویضی میونی مورد نظر بر روی شاخه‌های شبکه D-T و D-D اصلًا قابل ملاحظه نیست. به یقین می‌توان گفت یکی از دلایل مهم چنین نتیجه‌ای می‌تواند به خاطر تولید نسبی کم هلیم در سیستم باشد.

در مقایسه دوسیستم D-T و D-D در شرایط یکسان دمایی و محیطی، مقدار آهنگ چرخش میون در شرایط بهینه سیستم  $T = C_d = 0.5$  (D) تقریباً ۱۷ برابر مقدار آن در محیط D-T (دوتریم خالص) است. می‌توان سیستم D-T را به علت بزرگ بودن مقدار آهنگ چرخش میون به عنوان سیستم همجوشی برتر انتخاب کرد. اما با انجام مطالعات مؤثر هنوز به احتمال زیاد می‌توان به شرایطی رسید که سیستم‌های حاوی دوتریم خالص به صورت تشدیدی و اقماری با سیستم‌های شامل هلیم ۳ بتواند با وجود فراوانی دوتریم، به سیستم‌های با بهره قابل قبول برسد. علاوه بر این می‌توان یک راکتور بزرگ  $d+d$  تشدیدی را به عنوان هسته مرکزی در نظر گرفت که به طور همزمان سوخت شکافت پذیر و همجوشی پذیر برای توزیع در راکتورهای مختلف شکافت و همجوشی اقماری تولید کند تا این سیستم هم هنوز برای سیستم‌های همجوشی اقماری به عنوان یک کاندیدای مهم مورد توجه باشد.

### منابع

1. S. Jones et al., Phy. Rev. Lett., Vol.51, No.19 (1983).
2. V.R. Bom et al., Hyp.Int., No.118, 103-109 (1999).
3. M.R. Eskandari, "Principle of Nuclear Fusion", Shiraz University Press (1995) .
4. M.R. Eskandari, IJS and T, Trans.A, Vol.24, No.1, 2 (2000).
5. B. Gartner et al., Hyp. Int., 1-4, 271 (1998).
6. C. Petitjean, Nuclear Physics A, 543 (1992) 79C.
7. James S.Cohen, Phy. Rev. Lett., Vol. 58, No.14 (1987).
8. J. Zemeskal et al, Phy. Rev.A, Vol.42, No.1 (1990).

9. E.A.G. Armour, Can.J. Phys., Vol. 74, 401(1996).
10. D.V. Ballin et.al., Phy.Lett., Vol.141B, No.3, 4 (1984).
11. S. Eliezer and Z. Henis, Fusion Technology, Vol. 26, 46 (1994).
12. W. Czaplinski et al., Z.Phys. D27 (1996) 4169.
  
13. L.N. Bogdanova et.al., Priprint PSI-PR-97-33, PSI (1997).
14. T. Kammash, "Principles and Technology", Ann Arbor Science Publishers INC.Third Edition, (1997) MICH. 4816.